

การศึกษา เครื่องปฏิกรณ์ชีวภาพแบบตึง ขั้นสำหรับย้อยสลายหางช้าง



นายนิสิต บัณฑิต

วิทยานิพนธ์นี้เป็นส่วนหนึ่งของการศึกษาตามหลักสูตรปริญญาวิทยาศาสตรมหาบัณฑิต

ภาควิชาเคมีเทคนิค

บัณฑิตวิทยาลัย จุฬาลงกรณ์มหาวิทยาลัย

พ.ศ. 2525

ISBN 974-561-600-1

007269

I15983943

**STUDY OF A FIXED BED BIOREACTOR FOR
COMPOSTING OF RICE STRAW**

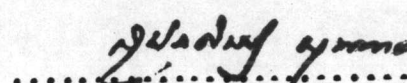
Mr.Nisit Pat-mayothin

**A Thesis Submitted in Partial Fulfillment of the Requirements
for the Degree of Master of Science
Department of Chemical Technology
Graduate School
Chulalongkorn University**

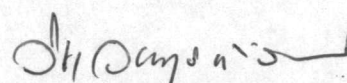
1982

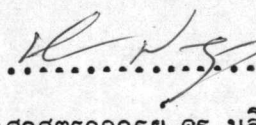
หัวข้อวิทยานิพนธ์ การศึกษา เครื่องปั๊กรถซึ่งภาพแบบครึ่งชั้นสำหรับ
 โดย นายนิสิต ปั้นโดยอิชน
 ภาควิชา เกมีเทคนิค^{*}
 อาจารย์ที่ปรึกษา อาจารย์ ดร. เพียรพรก หัสด

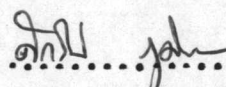
บังพีตวิทยาลัย จุฬาลงกรณ์มหาวิทยาลัย อนุมัติให้นักวิทยานิพนธ์ฉบับนี้เป็นส่วนหนึ่ง
 ของการศึกษาตามหลักสูตรปรัชญามหาบัณฑิต

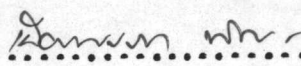
 อดีบดีบังพีตวิทยาลัย
 (รองศาสตราจารย์ ดร. สุประดิษฐ์ บุณนาค)

คณะกรรมการสอบวิทยานิพนธ์

 ประธานกรรมการ
 (รองศาสตราจารย์ ดร. วิชา วนดุรงค์วรรณ)

 กรรมการ
 (รองศาสตราจารย์ ดร. นلين นิลอุบล)

 กรรมการ
 (ผู้ช่วยศาสตราจารย์ ดร. กอรินทร์ ภูมิรัตน์)

 กรรมการ
 (อาจารย์ ดร. เพียรพรก หัสด)

ลิขสิทธิ์ของบังพีตวิทยาลัย จุฬาลงกรณ์มหาวิทยาลัย

หัวขอวิทยานิพนธ์	การศึกษาเครื่องปฏิกรณ์ชีวภาพแบบครึ่งชั้นสำหรับย่อยสลายฟางข้าว
ชื่อนิสิต	นายนิสิต บันม โยธิน
อาจารย์ที่ปรึกษา	อาจารย์ ดร. เพียรพรก หัคกร
ภาควิชา	ภาควิชาเคมีเทคนิค
ปีการศึกษา	2525

บหคดยอ



การศึกษาเครื่องปฏิกรณ์ชีวภาพแบบครึ่งชั้นนี้ ได้พิจารณาผลของอัตราการให้อาการที่มีต่อการย่อยสลายฟางข้าวโดยจุลินทรีย์ ภายใต้เครื่องปฏิกรณ์ที่มีคักษณะ เป็นถังทรงกระบอกบรรจุฟางไว้ภายใน และให้อาการให้หลุดร่วงในแนวรัศมี ฟางที่ใช้มีความชื้นเริ่มต้น 80 เปอร์เซนต์ ผลการทดลองพบว่า เมื่อมีการให้อาการด้วยอัตรา $22.1 \times 10^{-6} \text{ m}^3/\text{วินาที}/\text{ก.ก.ฟางแห้ง}$ จะมีผลต่ออัตราการย่อยสลายคิดเป็น 100% โดยพิจารณาจากอัตราการผลิตกาก纤维การร่อนโดยอกไซด์ ซึ่งให้ค่าสูงสุดเท่ากับ $11.0 \times 10^{-7} \text{ ก.ก.}/\text{วินาที}/\text{ก.ก.ฟางแห้ง}$ มีค่าความถี่ในการถ่ายเหมวลสูงสุด 21×10^{-5} หน่วยต่อวินาที และมีอัตราการผลิตความร้อนของจุลินทรีย์ต่อหน่วยปริมาตรของฟางข้าว สูงสุดเท่ากับ 4.6 กรัม-คอลอร์/ $\text{วินาที}/\text{ม}^3$ ภายหลังจากการย่อยสลายฟางข้าวในเครื่องปฏิกรณ์เป็นระยะเวลา 15 วัน ค่าอัตราส่วนการร่อนต่อในโทรศัพท์ของฟางข้าวจะมีค่าลดลงจาก 46 เหลือ 25

Thesis Title	Study of a Fixed Bed Bioreactor for Composting of Rice Straw
Name	Mr. Nisit Pat-mayothin
Thesis Advisor	Pienpak Tasakorn, Ph.D.
Department of	Chemical Technology
Academic Year	1982



ABSTRACT

Effects of aeration rate on the composting of rice straw were studied on a fixed bed bioreactor. Rice straw with 80% initial moisture was packed in a cylindrical reactor, and air flowed through it in the radial direction. It was found that aeration rate of $22.1 \times 10^{-6} \text{ m}^3/\text{sec/kg}$ (dry rice straw) appeared to be suitable; the maximum value of rate of CO_2 evolution, the frequency of mass transfer and rate of heat production by micro-organism per unit volume of rice straw were observed to be $11.0 \times 10^{-7} \text{ kg/sec/kg}$, 21×10^{-5} unit per second and $4.6 \text{ gm-cal/sec/m}^3$ respectively. The ratio of C/N of rice straw decreased from 46 to 25 after composting in the reactor for 15 days.

กิติกรรมประกาศ

ผู้เขียนขอกราบขอบคุณท่อ อาจารย์ ดร. เพียรพรคร หัศคร ที่ได้ให้คำแนะนำช่วยเหลือทางด้านวิชาการเป็นอย่างดี และให้ความสังเคราะห์ในการใช้สตานท์ ตลอดจนเครื่องมืออุปกรณ์ ทั่งๆ ที่ใช้ในการทดลอง จนทำให้การศึกษาวิจัยสำเร็จลงควยดี

ผู้เขียนขอขอบคุณ บริษัท มาและน้ำดื่มครอง จำกัด ที่ได้ให้การสนับสนุนทางด้านเครื่องมือ และอุปกรณ์ในการวิจัย ทำให้งานวิจัยนี้สามารถดำเนินการไปได้อย่างดี

ผู้เขียนขอขอบคุณ ท่านอาจารย์ เจ้าหน้าที่ ตลอดจนเพื่อน ๆ น้อง ๆ ที่ให้ช่วยเหลืองานนางอย่างเป็นอย่างดีตลอดมา ทำให้งานดำเนินไปได้อย่างมีประสิทธิภาพมากนัก และสำเร็จลงควยดี

สารบัญ

	หน้า
บทคัดย่อภาษาไทย	๑
บทคัดย่อภาษาอังกฤษ	๒
กิติกรรมประกาศ	๓
รายการตารางประกอบ	๔
รายการรูปประกอบ	๕
บทที่	
1 บทนำ	1
2 วารสารปริทรรศน์	2
2.1 การหมักในสภาวะที่เป็นของแข็ง	2
2.2 เครื่องปฏิกรณ์แบบตรึงชั้น	6
2.2.1 การไอลของอากาศผ่านชั้นของแข็ง	7
2.2.2 การถ่ายเทمواคระหว่างอากาศกับพื้นของจุตินหรีด	14
2.2.3 อุณหภูมิในเครื่องปฏิกรณ์	19
2.3 การยอยสลายเศษฟี้ช	21
2.4 ปัจจัยที่ควบคุมการยอยสลาย	22
2.5 ส่วนประกอบในฝางข้าว	22
3 อุปกรณ์เครื่องมือและการทดลอง	25
3.1 เครื่องปฏิกรณ์ชีวภาพแบบตรึงชั้น	25
3.2 การควบคุมคง ฯ	28
3.2.1 ห้องควบคุมอุณหภูมิ	28
3.2.2 การควบคุมปริมาณอากาศที่ให้แก่เครื่องปฏิกรณ์	28
3.3 การวัดค่าตัวแปรทาง ฯ	28



บทที่ (ต่อ)	หน้า
3.3.1 การวัดและบันทึกอุณหภูมิ	28
3.3.2 การวัดปริมาณการซึมน้ำโดยออกไซด์	29
3.3.3 การวัดเบอร์ เช่น ความชื้นของพังช์	31
3.3.4 การหาค่าอัตราส่วนการบันทึกในโตรเจน	31
3.4 เชื้อจุลินทรีย์สำหรับการย่อยสลายพังช์ขาว	34
3.5 วิธีการทดลอง	34
3.5.1 การวัดและบันทึกของน้ำ	35
3.5.2 ขั้นตอนการทดลอง	55
3.6 การทดลองหาค่าความสามารถในการซึมน้ำได้ (permeability) ของพังช์ขาว	36
4 ผลการทดลอง	39
4.1 การทดลองย่อยสลายพังช์ขาวด้วยเชื้อจุลินทรีย์ภายในเครื่อง ปฏิกัดซึ่วภาพแบบครึ่งชั้น	39
4.1.1 อุณหภูมิในชั้นของพังช์ขาว เมื่อมีการย่อยสลาย	39
4.1.2 ปริมาณการซึมน้ำโดยออกไซด์ที่ผลิตออกมาก	43
4.1.3 การเปลี่ยนแปลงอัตราส่วนการบันทึกในโตรเจน ของพังช์ขาว	47
4.1.4 การเปลี่ยนแปลงความชื้นของพังช์ขาวที่ถูกย่อยสลาย	51
4.1.5 ความหนาแน่นของชั้นพังช์ขาว	52
4.2 การทดลองย่อยสลายพังช์ขาวด้วยเชื้อจุลินทรีย์จากผลิตภัณฑ์ Agro Max ที่เติมลงไป เปรียบเทียบกับการย่อยสลายโดย จุลินทรีย์ที่มีอยู่แล้ว ความธรรมชาติภายในเครื่องปฏิกัดซึ่วภาพ แบบครึ่งชั้น	53
4.2.1 อุณหภูมิในชั้นพังช์ขาว เมื่อมีการย่อยสลาย	53

บทที่ (๘)	หน้า
4.2.2 ปริมาณการซึมน้ำโดยอุ่นใช้ค่าที่ผลิตออกมา	55
4.2.3 อัตราส่วนของค่าน้ำท่อในโถร. เจนในห้องช้า	55
4.3 การทดลองหาค่าความสามารถในการซึมผ่านได้ (Permeability)	55
5 วิจารณ์ผลการทดลอง	60
5.1 อัตราการผลิตความร้อนของจุลินทรีย์	60
5.2 การถ่ายเทมวลของออกซิเจนสู่จุลินทรีย์	63
5.3 ค่าความสามารถในการซึมผ่านได้ (permeability) ของห้องช้า	68
5.4 ผลการทำงานของเครื่องบีบีกรอล์ฟ์ภาพแบบตึงชั้น	69
6 สรุปผล	73
เอกสารอ้างอิง	75
ภาคผนวก	77
ประวัติ	112

รายการตารางประกอบ

ตารางที่	หน้า
2.1 แสดงส่วนประกอบของฟางขาว	23
4.1 แสดงค่าผลต่างของอุณหภูมิในชั้นฟาง กับ อุณหภูมิในห้องควบคุมมากที่สุด เมื่อ มีปริมาณการไหลของอากาศต่างกัน	43
4.2 แสดงค่าอัตราการผลิตกาซคาร์บอนไดออกไซด์สูงสุด เมื่อมีการให้ปริมาณ การไหลของอากาศต่างกัน	47
4.3 แสดงอัตราส่วนของการบ่อนท่อในโตร เจน เมื่อเริ่มต้นการทดลอง และ เมื่อ หยุดการทดลอง	51
4.4 แสดง เปอร์เซนต์ความชื้นของฟางขาวที่ถูกย่อยสลายที่เวลาต่าง ๆ กัน	52
4.5 แสดงค่าความหนาแน่นของชั้นฟาง (แห้ง) ตอนเริ่มต้นการทดลอง และ เมื่อสิ้นสุดการทดลอง	52
4.6 แสดงค่าความชื้นของชั้นฟาง ความหนาแน่นของชั้นฟาง (เปียก) ความ หนาแน่นของชั้นฟาง (แห้ง) และค่าความสามารถในการซึมผ่านได้ ของชั้นฟาง	59
5.1 แสดงค่า s_B ที่เวลาต่าง ๆ ของการทดลอง	63
5.2 แสดงค่า $k_s a_s$ ที่เวลาต่าง ๆ ของการทดลอง	66

รายการรูปประกอบ

รูปที่		หน้า
2. 1	แสดงการไหลของของไนโตรามเนวรัศมีผ่านชั้นฟิล์มร้อน	8
2. 2	แสดงการไหลของของไนโตรในแนวแกน (axial flow) ภายใน คอลัมน์ฟิล์มรัศมี R	12
2. 3	แสดงแบบจำลองของจุลินทรีย์ที่เกะยึดอยู่กับอาหาร	14
2. 4	แสดงชั้นตอนการ เกิดปฏิกิริยาในระบบของ เชลล์ของสิ่งมีชีวิต	15
2. 5	แสดงวงจร Krebs (Krebs cycle)	16
2. 6	แบบจำลองที่ออกแบบโดยเทเช้าสูตัวจุลินทรีย์ และการบันไดออกไซด์ ถ่ายเทอกมา	18
3. 1	แสดงภาพเครื่องปฏิกิริษีวภาพแบบทรงชั้น	26
3. 2	แสดงแผนผัง การทำงานของ เครื่องมือและการวิเคราะห์ รูปเครื่องกลึกการซ่อนโนนเนี้ยด้วยไอน้ำในการวิเคราะห์ในโทร.เจน	30
3. 3	รูปเครื่องกลึกการซ่อนโนนเนี้ยด้วยไอน้ำในการวิเคราะห์ในโทร.เจน	33
3. 4	แผนผัง เครื่องมือหาค่าความสามารถในการซึมผ่านได้ (permeability)	37
4. 1-4. 5	แสดงผลต่างของอุณหภูมิในชั้นฟาง (T_B) กับอุณหภูมิห้อง (T_R)	40-42
4. 6-4. 9	แสดงอัตราการผลิตกากซีการบันไดออกไซด์	44-45
4. 10	แสดง บอร์เซนท์กากซีการบันไดออกไซด์ภายในเครื่องปฏิกิริล	46
4. 11-4. 15	แสดง การเปลี่ยนแปลงอัตราส่วนการบันต่อในโทร.เจนของฟางขาว	48-50
4. 16-4. 17	แสดง ผลต่างของอุณหภูมิในชั้นฟาง (T_B) กับอุณหภูมิห้อง (T_R)	54
4. 18-4. 19	แสดงอัตราการผลิตกากซีการบันไดออกไซด์	56
4. 20-4. 21	แสดง การเปลี่ยนแปลงอัตราส่วนของการบันต่อในโทร.เจนของฟางขาว	57
5. 1	แสดง ความสัมพันธ์ของ $(T_B - T_R)$ กับ $(R_2^2 - r^2)$	61
5. 2	แสดง ความสัมพันธ์ของ S_B กับเวลาการหลดลง	62
5. 3	แสดง ความสัมพันธ์ของ k_{SBS} กับเวลาการหลดลง	65

รูปที่ (ต่อ)

หน้า

- | | | |
|-----|---|----|
| 5.4 | แสดงความสัมพันธ์ของค่าความสามารถในการซึมผ่านไคร์ของฝางช้ากับ
ความหนาแน่นของฝางที่ความชื้นต่าง ๆ | 70 |
| 5.5 | แสดงความสัมพันธ์ของค่าความสามารถในการซึมผ่านไคร์ของฝางช้า กับ
ความหนาแน่นของฝางช้าที่คิดโดยน้ำหนักแห้ง | 71 |